

FENOTENI II

Lezione 28/2/19

ASPECTI ORGANIZZATIVI

SITO WEB → CENTRO PIAGGIO

- LIBRO → BIOELECTROMAGNETICA → PDF (PROGRAMMA)
(BIOELECTRICITY;
A QUANTITATIVE APPROACH)

- MATERIALE DI SUPPORTO → GRAFICI PROGETTATI
A GEZIONE

- ESEMPI MOTORI → CALCOLO FUNZIONI COMPLESE
+ SIMULAZIONI

- DISPENSE "NUOVE", DE ROSSI → NEURONI E RETI NEUROLI
DE ROSSI → NEURONI FONATI E SISTEMI
CONNESSIONISTI

- SUPPORTO → DANIELE TOLI → RICERCA NELL'AMBITO
ACOUSTICO
di STIMOLAZIONE
di CULTURA IN VITRO
di NEURONI
- DISPENSE VECCHIE
con MODERNIZZAZIONE...

ASPECTI GENERALI DEL CORSO

CERVELLO
CUORE
MUSCOLI



SEGNAli
Generati

ECG
SPONTANEO → ENG
EEG

IMPEGN
INOSTR → PLETISMA
EIT

STIMOLAZIONE → RISTORICO

FES

IC CORN

PACING

FUNZIONAMENTO

DEFIBRILLATORI

IMPULSIOSI

TIPI DI STIMOLAZIONE

ENGAGIN

DOPO ESTERNO

(TIPILOGRAFIA CONDUZIONE)

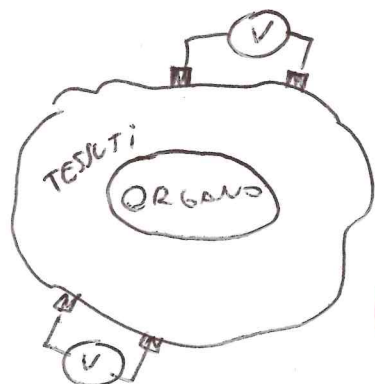
IL CORSO SI PONE L'OBETTIVO
di SVILUPPARE UN MODELLO

di CONFRONTAMENTO

bioelettrico dei

TESSUTI ECCITATORI

PROBLEMA INVERSO → diagnostico ente rilevante



TESSUTI ECCITABILI → SORGENTI BIOELETTRICHE

MISURANNO OBI BIO-POTENZIALI
SULLA SUPERFICIE DEL CORPO
E VOGLIATO DETERMINARE LO
"STATO" DELLA SORGENTE
CLASSICO PROCESSO DI RISOLUZIONE
SI PENSÌ A ECG

NOTE: PROBLEMA //MOLTI SOTTI//, DI SOLITO NON ESISTE UNA
SOLA SOLUZIONE

PROBLEMA DIRETTO → RILEVANTE SOLO TUTTO DI VISTA DELLA "TENSIPIA"

DATO LA SORGENTE
BIOELETTRICA → DETERMINARE IL POTENZIALE
NELLO SPazio CIRCOSTANTE

TIPICO PROBLEMA
CERCHIATO DALLA STIMOLAZIONE → DATO UNA SORGENTE
(ESEMPIO CORRENTE IMMUTATO)
E IL SUO POSIZIONAMENTO
SPAZIALE

FES

PACING

DEFIBRILLAZIONE

{ DETERMINARE IL POTENZIALE
INDOTTO SUL tessuto ECCITABILE
E IL CONSEGUENTE "EFFETTO"
FISIOLOGICO

DA CONSIDERARE

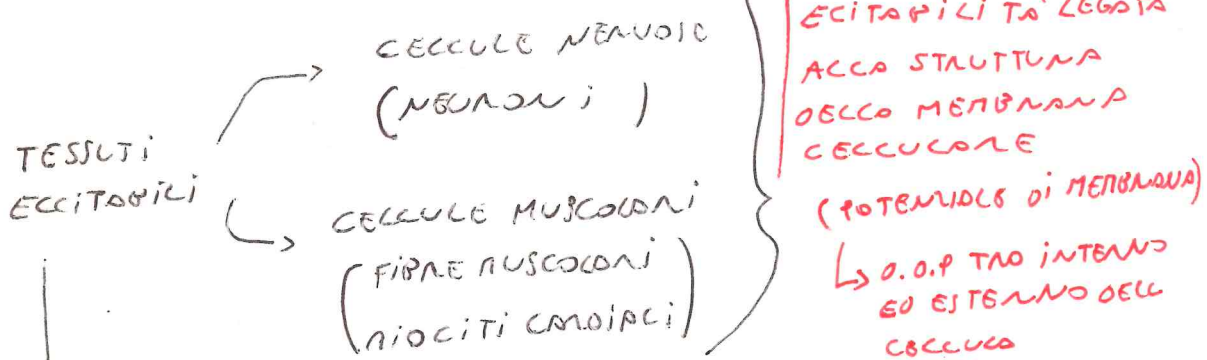
→ CARATTERISTICI
TESSUTI

→ NON CONDENTI
→ NON ISOTROPICI

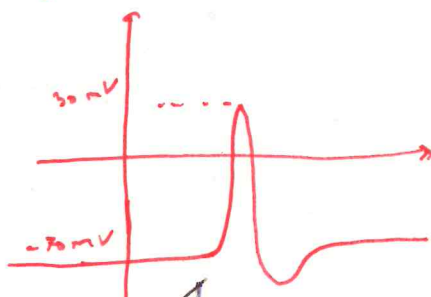
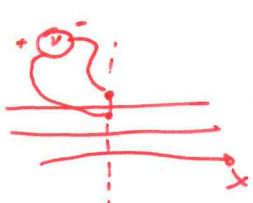
→ PROCESSO → SPesso CI RIURNA
BO AL CASO NONO A ORDINARIO

POTENZIALI
NUOVI

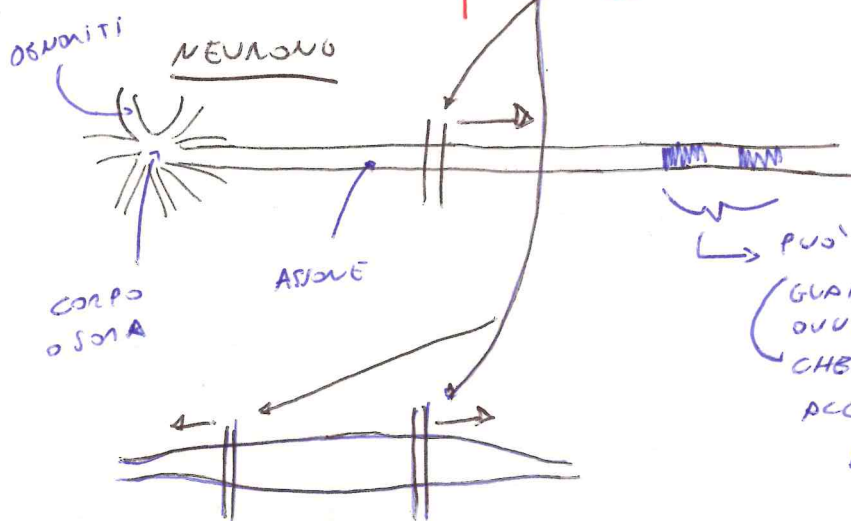
FORNISCONO ENERGIA E NIVELLO
D'INTERAzione CON I TESSUTI (ORDINARIO)



CELLULE ECCITATORI \rightarrow LA MEMBRANA CELLULARE PUÒ PRODURRE COMUNICANTE IMPULSI ELETTROCHIMICI CHE SI PROPAGANO



ESEMPIO: NEL PUNTO X DELLA CELLULA ECCITATORIA



FIBRA MUSCOLARE \rightarrow ALLO PROPAGAZIONE DELL'IMPULSO È ASSOCIAZO UNA "CONTRACCISIONE" MECCANICA

CENNI AGLI ASPETTI GENERALI Fisiologici sui tessuti eccitatori

L'ANATOMIA
CAP. 2

CELIORE
DE ROSI

-#1)

LA MEMBRANA CELULARE SOTTO SOGLIA

(CAT 3)
lipno

INTRODUCTION

MEMBRANA CELLULARE → "COMPONENTI" FONDAMENTALI DI FUNZIONE CHE SONO STUDIO

A hand-drawn diagram illustrating two types of waveforms. On the left, a sawtooth wave is labeled "DOPPIO ASPETTO". On the right, a rectangular pulse is labeled "CAPACITIVO".

TESTA ionofila
(poco e <math>\delta^-</math>)

coda ionofifa
(A poco >math>\delta^+</math>)

ASPETTI → RESISTIVO

↳ canali \rightarrow fori /
 invici MACROACACIANI
 Ø i i (prosine)

МЕПРОТОН → // RC

R C
canali
iniziali

ϕ_0

doppio stadio
Lipioico

POTENZIALI di MEMBRANA

$$(V_n) \longrightarrow$$

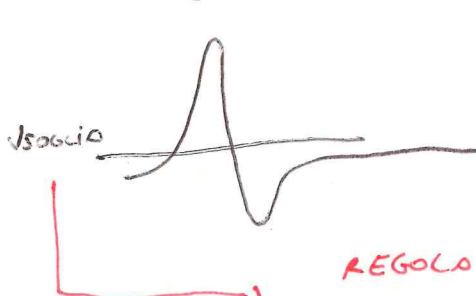
D.O.P TRA INTERNO

E ESTENDO OS COA ABENDEAR

COSTANTE NEL
TEMPO E NECCO
SPOUD

\rightarrow ~~SECRETOS~~ \rightarrow SECRETO \rightarrow ~~ESTIMULOS~~
 STIMULOS
 \hookrightarrow SE DECRETO \rightarrow STIMULOS
 ESTIMULOS

• ϕ STIMOLI
ECCITATORI \rightarrow SOPRA UNO
CENTRO SENSUALE \rightarrow POTENZIALI
d'AZIONE



REGOLA DEC "TUTTO O NULLA" →

SE NON SI RAGGIUNGE
LA SOGGERE NON SI GREDE
NELL'UN FOTENZIALO DI PIAZZA

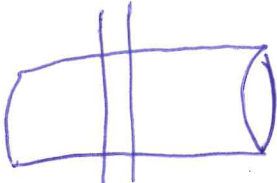
SOTTO SOGLIA

→ GENESI DEL POTENZIALE
di RIPOSO

↳ propagazione SOTTO SOGLIA (ELETTRONICA)
reazioni intensità / durata

GENESI DEL POTENZIALE DI RIPOSO

OBETTIVO: DESCRIVERE LA MEMBRANA CECCANTE
CON UN MODELLO ELETTRICO A ~~RES~~



→ BASE PER LA DESCRIZIONE /
COMPONENTE DELLA GENESI
E DELLA PROPAGAZIONE DEL POTENZIALE
di RIPOSO

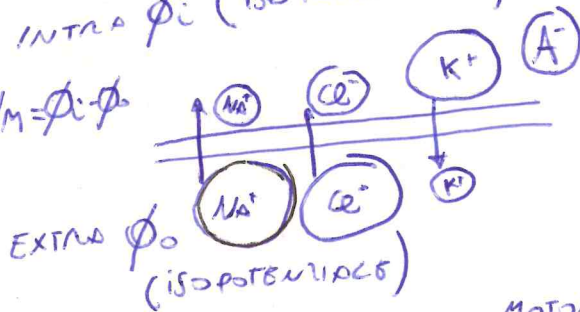
$\Delta X \rightarrow$ consideriamo
UNA PICCOLA PORTE
DELLA MEMBRANA

N.B. → partendo da un'OSSERVAZIONE
SPERIMENTALE

INTR ϕ_i (isopotenziale)

OSS#1

LE CONCENTRAZIONI
DELLE SPECIE ioniche
sono costanti



OSS#2

$V_M = \text{costante} (-70mV)$

$\begin{matrix} \text{Na}^+ & 150 & 15 \\ \text{K}^+ & 5.5 & 150 \\ \text{Cl}^- & 125 & 9 \end{matrix}$ $\begin{matrix} \text{V}_{\text{NERNST}} \\ (\text{teorici}) \end{math}$

$61mV$

$-88mV$

$* -70mV$

* NOTA: C'è un equilibrio

MOTORNEURONE

GATTO

310 K

OSS#3 NON siamo in una
condizione di EQUILIBRIO

$$V_{\text{NERNST}} = \frac{RT}{2eF} \ln \left(\frac{C_{O,i}}{C_{i,O}} \right)$$

→ Na^+, K^+ non sono all'EQUILIBRIO

$$V_A \neq V_{\text{NERNST}} K^+ \quad V_M \neq V_{\text{NERNST}} Na^+$$

Ovvero: ci sono in uno STATO STAZIONARIO
non sono in condizioni di EQUILIBRIO

(UN concorrenza → contrari)

⇒ ci sono un FLUSSO PASSIVO di SOGI
e POTASSIO attraverso la membrana

LEGGI di
NERNST/FORCK →

$$J_I = -D_I \left(\nabla C_I + \frac{c_I z_I F \nabla \phi}{RT} \right)$$

$J_I = nF J_I$ ← FLUSSO

DENSITÀ di
CONCENTRAZIONE

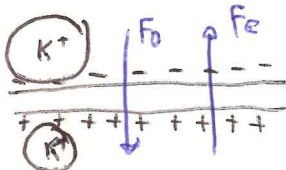
FORZA
DIFFUSIVA

FORZA
ELETTRICA

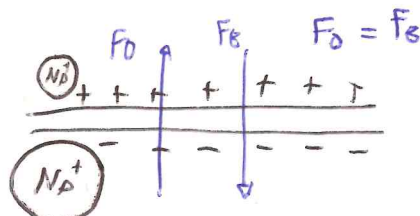
COME INTENSIATO i POTENZIALI DI NERNST!

IN condizioni di polarizzazione $J=0 \Rightarrow |F_d| = |F_E|$

$$V_K = -88 \text{ mV} \quad F_d = F_E$$



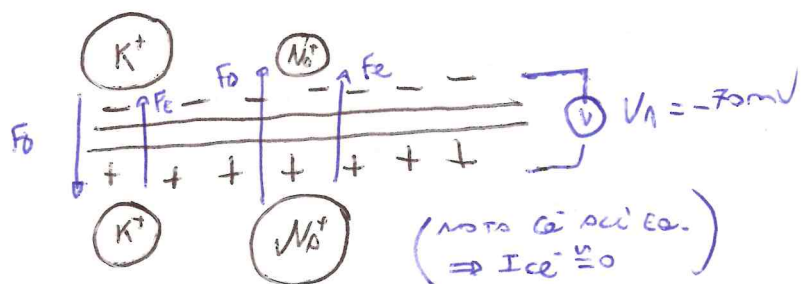
$$V_{Na} = 61 \text{ mV}$$



O

O

NELLE CONDIZIONI
SPERIMENTALI



$\rightarrow K^+$ $F_d \in F_E$ DISCONCORDANTI $\Rightarrow F_E$ È PIRENTRO
di conseguenza $V_A = -70 \text{ mV}$
 $\Rightarrow K^+$ FLUSTRISCE
PIRENTRO $\Rightarrow I_K > 0$ converso

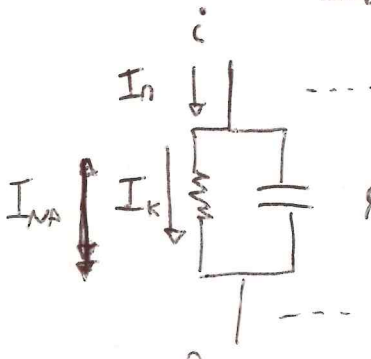
$\rightarrow Na^+$ $F_d \in F_E$ CONCORDANTI $\Rightarrow Na^+$ FLUSTRISCE
DENTRO $\Rightarrow I_{Na} < 0$

OSS #4 POTENZIALI COSTANTI (STATO STAZIONARIO)

\Rightarrow COSTANTI SULLA CAPIACCIATA' NUCCA

$$\Rightarrow I_{Na} + I_K = 0$$

Carica
sulla C1
è costante



$$\phi_i - \phi_o = V_1 = \text{cost} \approx -70 \text{ mV}$$

$$I_1 = I_K + I_{Na} = 0$$

A RIPOSO
CA CORRENTE
DI NERNST
E' NUCCO

"FOTOGRAFIA" → cosa non torna?

INIZIACO

FUSSO CONTINUO di Na^+ (AOA) }
 FUSSO CONTINUO di K^+ (AO IAO) }

LE CONCENTRAZIONI
di Na^+ E K^+ NON
VARIANO

→ EFFETTO DELLO TEMPO SOCIO/ESTERNO
 CHE AFRONTA K^+ DENTRO E Na^+ FUORI
 E CONTRIBUISCE AL MANTENIMENTO DELLO
 STATO STAZIONARIO

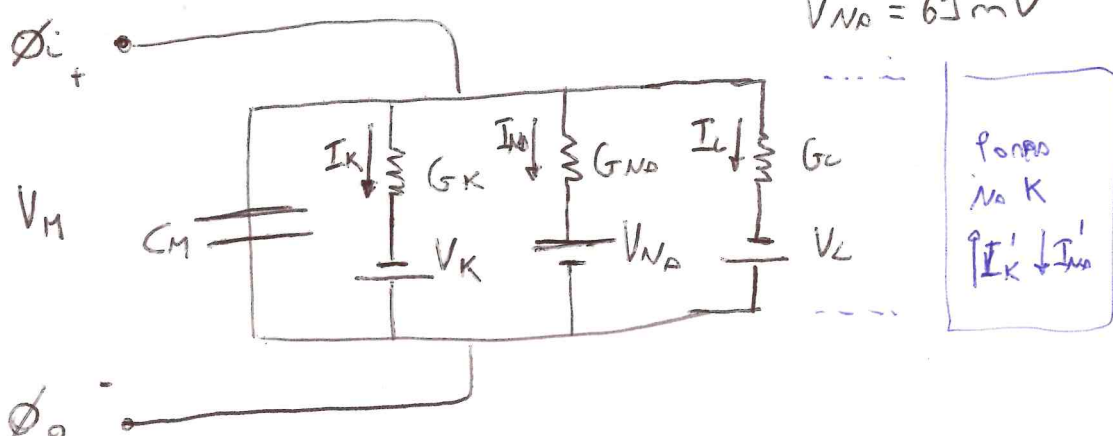
$$V_M = \text{cost}$$

$$\frac{S_{\text{TOT}}}{S_{\text{TOTstationario}}} \rightarrow \frac{\text{CONCENTRAZIONE}}{\text{IONICA}} = \text{cost}$$

MODELLO ELETTRICO DELLA MEMBRANA
 A RIPOSO

$$V_K = 88 \text{ mV}$$

$$V_{Na} = 63 \text{ mV}$$



~~MEMBRANA~~

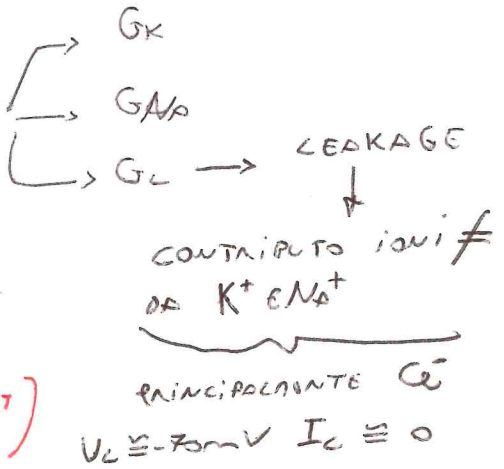
$$V_M = \phi_i - \phi_o = \text{cost} < 0 \rightarrow \text{E.s. } -70 \text{ mV}$$

Hip: | Fussi ionici indipendenti
 TRA CADA

ALLE CADA. SPERIMENTALI CONSIDERATE CA FORZA "DIFFUSIVA" DI K^+
 TENDA A FAR FUORI I_{Na} IN DIREZIONE DI POSITIVO $\frac{+1}{T}$

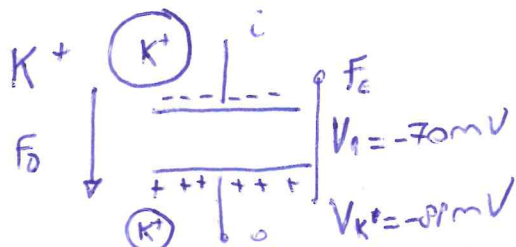
PENETRABILITÀ
IONICA

→ CONDUZIONE



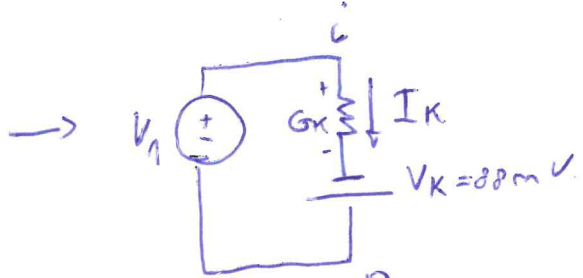
FORZA
DIFFUSIONALE → GENERAZIONE
di TENSIONE
(POTENZIALE di NERNST)
ALLE conc. attue

FORZA
ELETTRICA → V_n / G_{Na} (DETERMINATA DAI POTENZIALI
di MEMBRANA E DELLA CONDUZIONE)

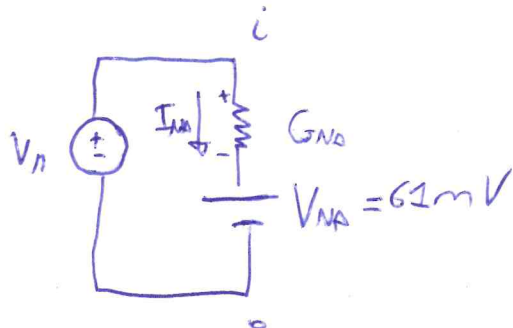


F_O e F_E discorsi ma la forza
elettrica non è tale da
contrarre il campo di
diffusione $|V_n| < |V_K|$
 $\Rightarrow I_K > 0$ (USCENTE)

VEDIAMO SE
 K^+ MOBILIZZANO ELETTRICAMENTE
LA MEMBRANA



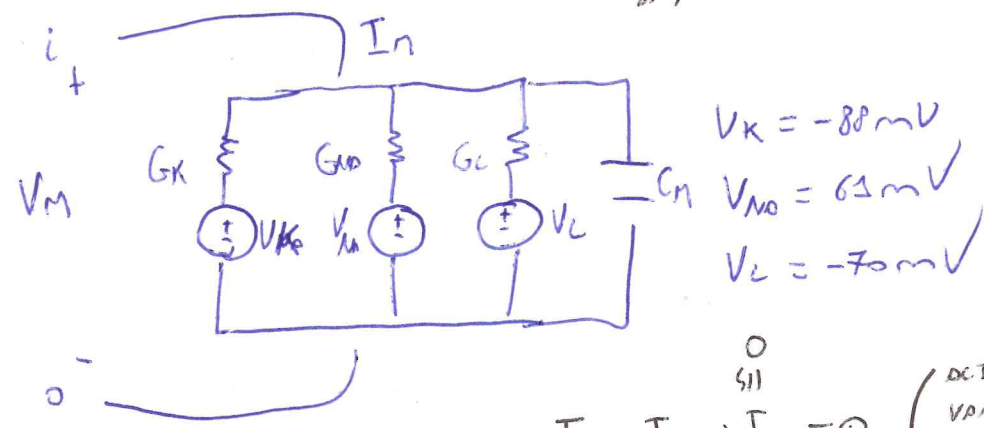
$$I_K = G_K (V_n + V_K) = G_K (88mV - 70mV) = G_K 18mV$$



$$\begin{aligned} I_{Na} &= G_{Na} (V_n - V_{Na}) = \\ &= G_{Na} (-70mV - 61mV) = \\ &= G_{Na} (-131mV) < 0 \Rightarrow \text{OK!} \end{aligned}$$

ENTRANT

~~MODELLO PLETORAVITIVO~~ → polarità GENERATORI
è segno del pot.
di membrana



$$I_K + I_{Na} + I_L = 0 \quad \left(\begin{array}{l} \text{OSSERVAZIONI} \\ V_M \text{ è costante} \\ \text{con} \rightarrow V_M = V_N \end{array} \right)$$

N.B. $\rightarrow V_N = \text{cost}$

~~Membrane, ERK~~

concentrazioni di K^+ e Na^+ non
devono variare. Attivazioni:
variazioni potenziali di membrana

elettroni compiti V_N \rightarrow SN^{out}
verso $2K^+$ in

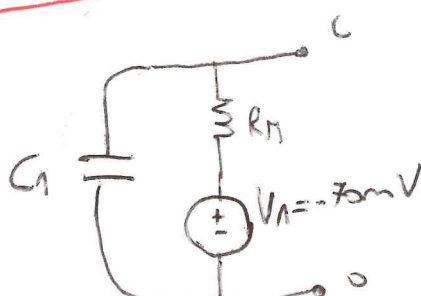
(effetto pompa Na/K ATP
risarcisce le variazioni di concentrazione)

ESTREZZIONE
TEORICA V_N \rightarrow nodi
GOOLAN
HODGKIN
HUXLEY

$$V_N = -\frac{RT}{F} \left(\frac{P_K C_K K + P_{Na} C_{Na} Na + P_C C_C Cl}{P_K C_K K + P_{Na} C_{Na} Na + P_C C_C Cl} \right)$$

NOTA: $\frac{P_{Na}}{P_K} = 0.04 \rightarrow V_N \approx V_K$ $\quad (G_K > G_{Na})$

MODELLO CIRCUITALE SEMPLIFICATO

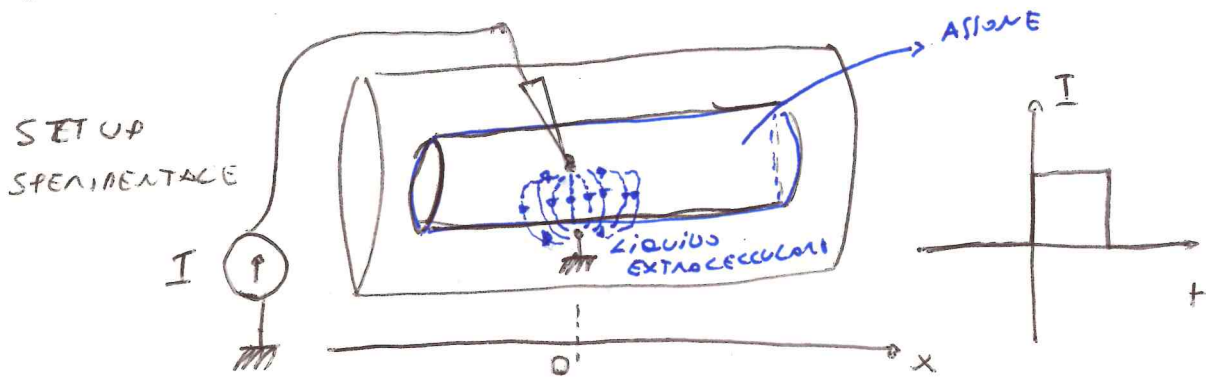


NOTA: a riposo non scorre
corrente in R_N

PROPAGAZIONE SOTTOSOGGLA

(ELETTRONICA)

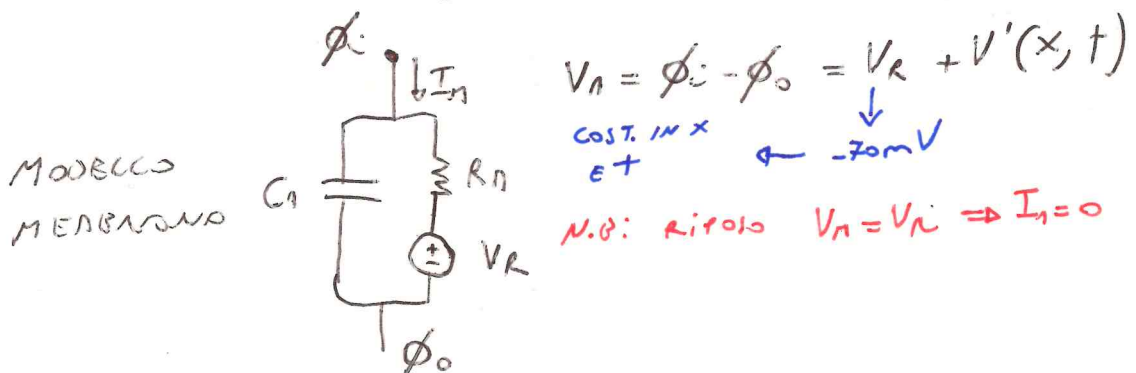
COME SI PROPAGA UNO STIMOLO QUANDO NON SI RAGGIUNGE LA SOGLIA DI ATTIVAZIONE?



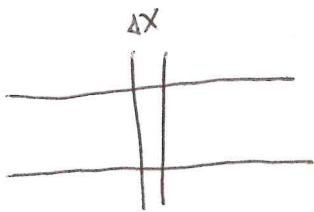
PROBLEMA: DATO L'INVERSO \rightarrow RICAVARE $V_n(x, t)$

STUDIENDO LE GRANDEZZE DI INTERESSE

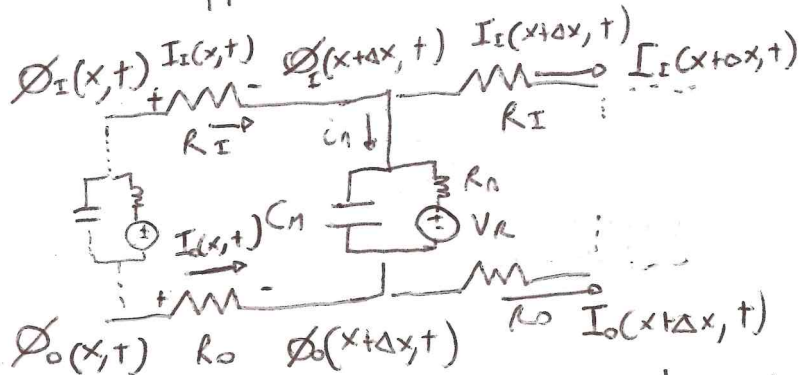
- PROPAGAZIONE POTENZIALI DI MEMBRANA $\rightarrow V_n(x, t)$
- CORRENTE DI MEMBRANA $\rightarrow i_n(x, t)$
- CORRENTE ASSOCIA INTRACELLULARE $\rightarrow I_i(x, t)$
- CORRENTE ASSOCIA EXTRACELLULARE $\rightarrow I_o(x, t)$



NOTA: VALE LA CONSERVAZIONE DELLA CARICA $\Rightarrow \nabla_x (I_i(x, t) + I_o(x, t)) = 0$



considero un tratto di assente
 Δx con $\Delta x \ll L$ (lunghezza assente)



R_I, R_o, C_M (su unità di lunghezza) MF/m

R_n (x unità di lunghezza) $\text{kR} \cdot \text{m}$

I_I, I_o correnti assiali mA

Φ_I corrente transversale / unità di lunghezza mA/m

POTENZIALI $\rightarrow \text{MV}$

corr Φ
 $V_n = V_R + \Phi'$ → GRANDEZZA
 da ricavare.

Esercizi di base

$$\frac{\Phi_I(x, t) - \Phi_I(x, t)}{R_I \Delta x} = I_I(x, t) R_I$$

$$\frac{\Phi_o(x, t) - \Phi_o(x, t)}{R_o \Delta x} = I_o(x, t) R_o$$

$$R_I I_I(x, t) = -\frac{d\Phi_I(x, t)}{dx}$$

$$\Delta x \rightarrow 0 \Rightarrow$$

$$R_o I_o(x, t) = -\frac{d\Phi_o(x, t)}{dx}$$

EQUAZIONI AI NUO

$$I_e(x, t) = i_n(x, t) + I_o(x + \Delta x, t)$$

$$I_o(x, t) + i_n(x, t)\Delta x = I_o(x + \Delta x, t)$$

$$\left\{ \begin{array}{l} i_n = -\frac{\delta I_e(x, t)}{\sqrt{x}} \\ i_n = \frac{\delta I_o(x, t)}{\sqrt{x}} \end{array} \right.$$

*NOTA \rightarrow cons. 0840
conica*

$$I_e + I_o = 0 \Rightarrow \frac{\delta I_e}{\sqrt{x}} = -\frac{\delta I_o}{\sqrt{x}}$$

*Variabile
deca con.
lineare*

$$V_n = \phi_e - \phi_o = V_R + V'(x, t) \quad \frac{\delta V_n(x, t)}{\sqrt{x}} = \frac{\delta V'(x, t)}{\sqrt{x}}$$

$$\frac{\delta \phi_e(x, t)}{\sqrt{x}} - \frac{\delta \phi_o(x, t)}{\sqrt{x}}$$

$$\Rightarrow \frac{\delta V_n(x, t)}{\sqrt{x}} = -R_e I_e(x, t) + R_o I_o(x, t)$$

$$\frac{\delta^2 V_n(x, t)}{\sqrt{x^2}} = -R_e \frac{\delta I_e(x, t)}{\sqrt{x}} + R_o \frac{\delta I_o(x, t)}{\sqrt{x}} =$$

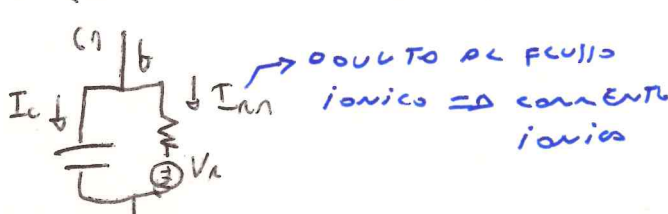
$$= R_e i_n + R_o i_n$$

*RECOLTATE NOTA
IMPORTANTE!*

*NOTA: ANCORA NELL'UNA
IPOTESI SUL
SOTTO SOGLIA*

$$\boxed{\frac{\delta^2 V_n(x, t)}{\sqrt{x^2}} = (R_e + R_o) i_n(x, t)}$$

$$\text{Hf SOTTO SOGLIA} \Rightarrow R_n = \text{cost} \Rightarrow i_n = I_e + I_m$$



$$i_n = G_n \frac{(V_n(x, t) + (V_n - V_h))}{\sqrt{x}} + \frac{V_n(x, t)}{R_m}$$

$\frac{\delta V'(x, t)}{\sqrt{x}}$

$$i_n = C_n \frac{\int V'(x,t)}{\sqrt{x}} + \frac{V'}{R_M}$$

$$\frac{\int^2 V'_n(x,t)}{\sqrt{x^2}} = (R_I + R_o) i_n$$

$$\Rightarrow \boxed{\frac{1}{R_I + R_o} \frac{\int^2 V'_n(x,t)}{\sqrt{x^2}} = C_n \frac{\int V'(x,t)}{\sqrt{t}} + \frac{V'(x,t)}{R_n}}$$

EQUAZIONE DIFF. IN $x \in t$ CHE DESCRIVE
LE PROPRIETÀ DELLA TENSIO-
NE IN CONDIZIONI SOTTO-SOGGLIO

$$\left(\frac{R_n}{R_I + R_o} \right) \frac{\int^2 V'(x,t)}{\sqrt{x^2}} = \cancel{C_n} \frac{\int V'(x,t)}{\sqrt{t}} + \cancel{V'(x,t)}$$

$\downarrow x^2$

$$\lambda^2 \frac{\int^2 V'(x,t)}{\sqrt{x^2}} = \gamma \frac{\int V'(x,t)}{\sqrt{t}} + V'(x,t)$$

EQUAZIONE DEI
TELEGRAPFISTI
o
COUPLE EQUATION

$$\lambda = \sqrt{\frac{R_n}{R_I + R_o}} \rightarrow \text{costante di spazio}$$

Lezione 14/3

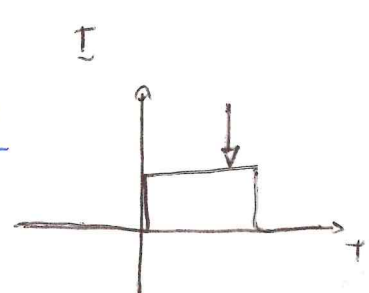
$$\gamma = R_n C_n \rightarrow \text{costante di tempo}$$

STUDIO IN CONDIZIONI STAZIONARIE

TRANSIZIONI ESPONENZIALI

$$\frac{d}{dt} = 0 \Rightarrow I_C = 0$$

$$\frac{\int V'(x)}{\sqrt{x}} = \frac{V'}{\lambda^2} \quad V(x) = Ae^{-\frac{x}{\lambda}} + Be^{\frac{x}{\lambda}}$$



$$-\frac{x}{\lambda} \quad \frac{x}{\lambda}$$

$$V'(0) = V_0$$

condizioni →
al contorno

$$V'(0) = 0 \quad (\text{a dist. infinito da}\text{ punto di stimolazione})$$

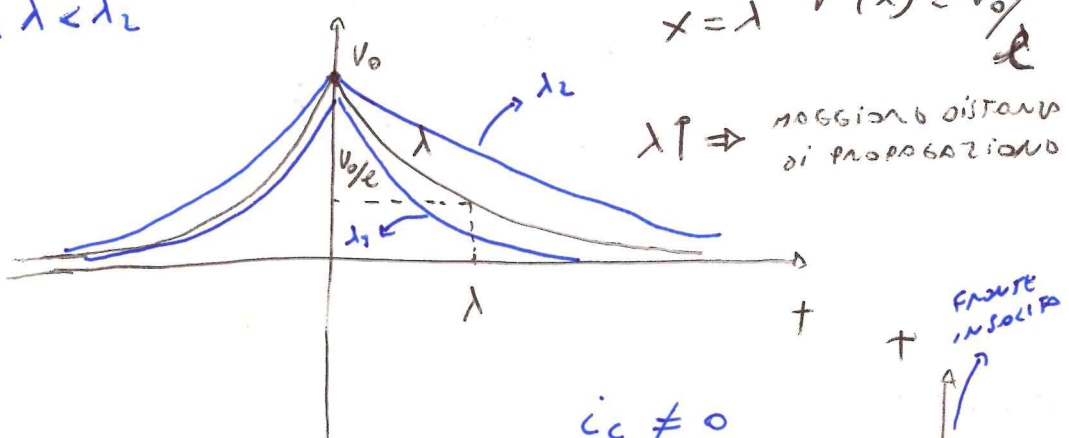
$$A + B = V_0$$

$$x > 0 \quad B = 0$$

$$V(x) \begin{cases} V_0 e^{-\frac{x}{\lambda}} & x > 0 \\ V_0 e^{\frac{x}{\lambda}} & x < 0 \end{cases}$$

simmetrico
rist. a x

$$\lambda_1 < \lambda < \lambda_2$$



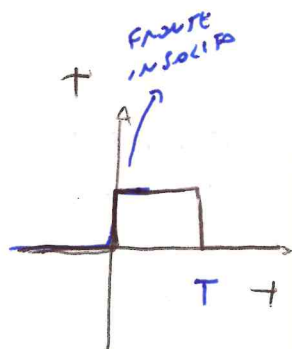
$$x = \lambda \quad V'(x) = V_0 / \lambda$$

$\lambda \uparrow \Rightarrow$ maggiora distanza
di propagazione

condizioni non stazionarie

$$ic \neq 0$$

$$+; \frac{\delta}{\sqrt{t}}$$



$$\lambda^2 \frac{\delta V'(x,t)}{\delta x^2} = \gamma \frac{\delta V'(x,t)}{\delta t} + V'(x,t)$$

$t=0^+$ C₀ "CHIUSA", ic concentrazione conserva le condiz.

$$\Rightarrow V'(x,0) = 0 \quad \forall x$$

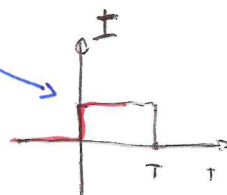
$t=\infty \rightarrow$ REGIME \rightarrow CASO STAZIONARIO VISTO FINO

per tempi internedi $\left\{ \begin{array}{l} V'(x,t) \text{ CRESCERA' CON COSTANTE DI TEMPO} \\ \gamma \text{ FINO AD RAGGIUNGENDO IC} \\ \text{VALORE STAZIONARIO} \end{array} \right.$

Lavoro → pag 62 → TAPPE 3.2 → costanti della
coleke equation

FRONTE IN
SALITA

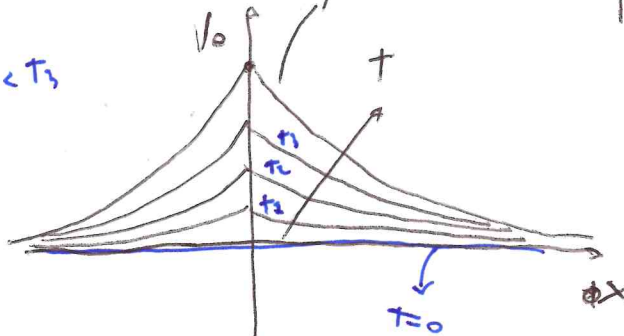
V' STAZIONARIS



V'

t

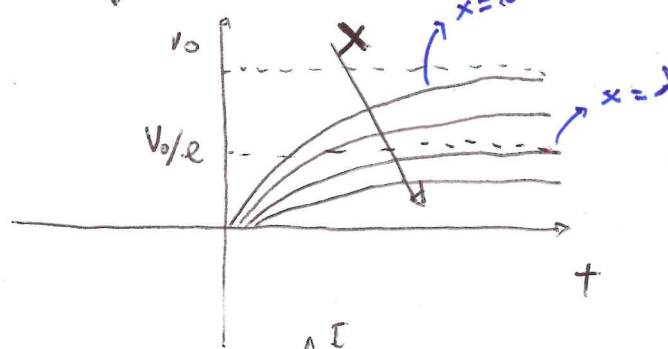
$t_1 < t_2 < T$



$t=t_0$

ϕx

V'

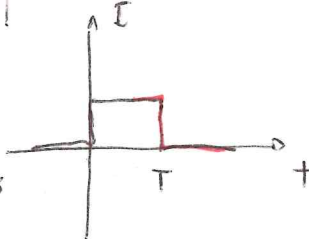


t

FRONTE IN
DISCESA

↓ PUNTI DI VALORI
DI REGINA E TENDO A 0

V'

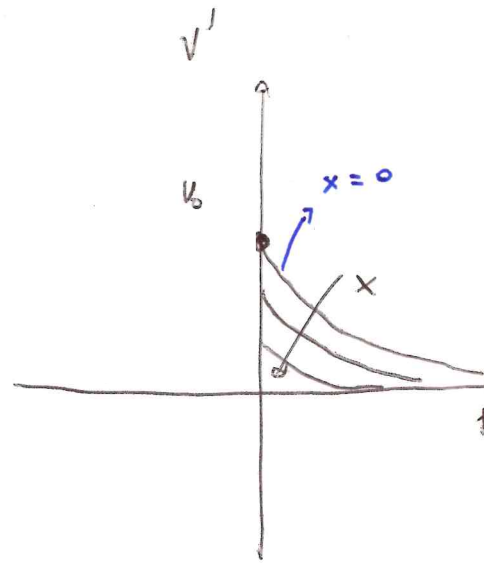
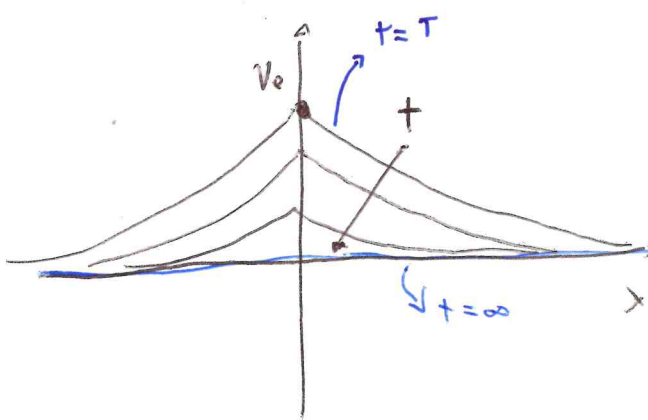


V'

t

$t=T$

$+ \downarrow t=\infty$



$x=0$

DESCRIZIONE QUANTITATIVA POTENZIALE AZIONE

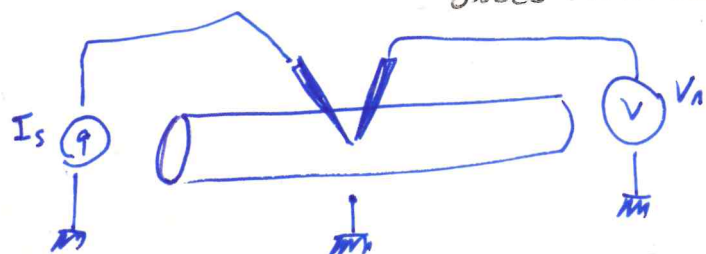
CELLULA ECCITATRICE →
STIMOLATA

CANBIA IL POTENZIALE
DI MEMORIANA

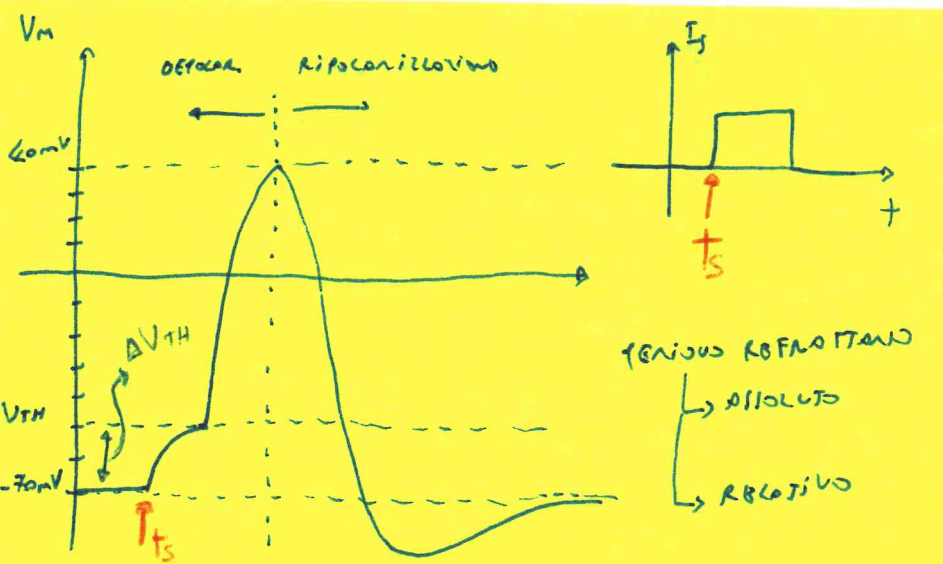
- ECCITATIONIS V_AT
- DEPOLARIZAZIONE
- REPolarizzazione V_AB
- REFLEXOZIAZIONE

The diagram illustrates an excitatory synapse. On the left, the word "STIMOLO ECCITATORIO" is written above an arrow pointing to a box labeled "V_A ↑". From this box, two arrows branch out: one labeled "SOTTO SOGGLIA" points to an arrow labeled "IMPULSO ELETTRASCHINICO" with the subtext "POTENZIALE DI AZIONE" and "MEMBRANA IN STATO ATTIVO"; the other labeled "SOTTO SOGLIA" points to an arrow labeled "RISPOSTA POSS. EPSP" with the subtext "PROPAGAZIONE ELETTRATONICA".

POTENZIALMENTE
PERSONA (fata) → STESSO FONDO
INCONSCIENTE
OGGETTO STIMOLO → "TUTTO O NIENTE,
C'È SOLO SE SI MOLLO
E SOGLIO"



possibile SET-UP di
REGISTRATRIONE ESTINZIO.



PoA si genera
in quanti le
neuroni vedi
le proprie doti.
pernoversi tra
(connettivita)
 $\text{Na}^+ \text{ e } \text{K}^+$.
Info iniziate
pernata pern.
 Na^+ che entra
e ferisce il
pot. di membrana

forse di
CASSATO → AUTONOMA CONDUZIONE
Na⁺

fotA

ricco massimo → minuziale PERIODICO
EDOCROSSITO → A Na⁺ succinato
AUTONOMA CONDUZIONE
AK⁺; K⁺ ESCO E RISTOSSERISCE
LA SITUAZIONE INIZIALE

periodo

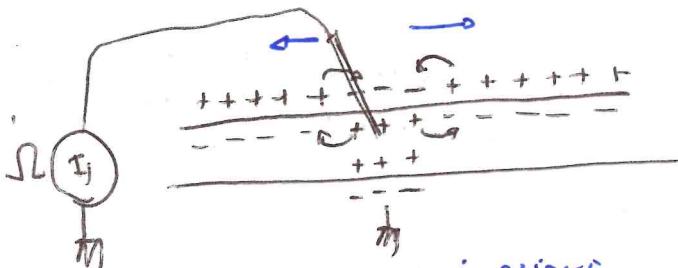
REFRAZIONE

ASSOCIAZIONE → non si possono
generare fotA (canali
Na⁺ CHIUSI)

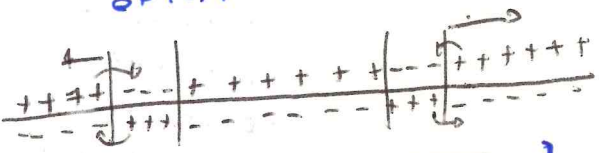
RECETTORE → SI GENERANO fotA
con STIMOLI
MOLTO GRANDI

se fotA si propagano
su TUTTO l'ORARIO
(O figura musculari)

FISIOLOGICO → DO SOLO → AZIONE
L'ESPANSIONE
PRO-SINAPTICA
ARTIFICIALE → lungo l'ORARIO
NELL'OROCAZIONE



DOUE POTENZIALI DI FOTO
SI PROPAGANO IN DIREZIONI
OPPOSTE



PERCHÉ NON SONO INVIETATI?

ASSONE NIECINA → GUAINA NIECINA → CELLULA
di SWANN

ASSONE di RAFFER

LA ZONA ATTIVA
TENDE A OBPLICARSI
LE ZONE SOTTO SOGLIA
ADJACENTI (PROP. ECITATRICE).

SECONDO ADJACENTI RAGGIUNGONO
LA SOGLIA → SI CREA UN
fotA CHE A SUO VOLTO
OBPLICARSI LA ZONA
ADJACENTI ...

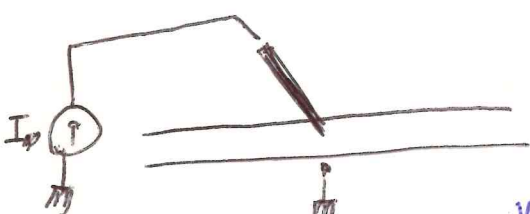
UNO SORTE DI EFFETTO
"BORING",

→ causante "SALTO TONICO" + VELOCITÀ
IL POTENZIALE DI AZIONE È PIÙ
GENERALI SOLO NBC NOODS
DI RIVIVERE. TRA UN NOOD E
UN ALTRO, SOTTO A GUAINA NIECINA
LA CONDUZIONE È ECETRATONICO

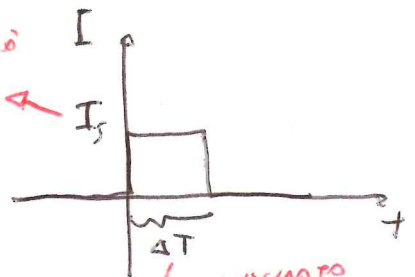
CURVE INTENSITÀ/DURATA

Lezione 15/3

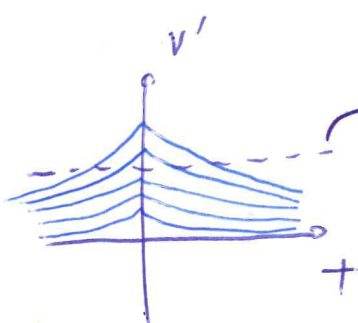
Vogliano portare una cellula eccitatoria sopra la soglia per generare un potenziale di azione. Considerando uno stimolo in corrente di quali fattori dovranno tener conto?



INTENSITÀ



* CONSIDERANDO
IC SOTTO SOGLIA



ΔV_{TH}

I FATTORI DI INFUENZA
SONO INTENSITÀ (I_S)
E DURATA (ΔT) DELL'
IMPULSO

SI ACCENNA AI CURVI INTENSITÀ/DURATA PERCHÉ QUESTI
DUE FATTORI INFUENZANO L'ATTIVAZIONE DELLA CELLULA
(neurone o fibra muscolare)

DETERMINARE COPPIE
OBIETTIVO → I_S, ΔT CHE PORTINO
IC POTENZIALE DI
MEMBRANA ALLO
SOGLIA DI STIMOLAZIONE
~~(stimola)~~

SI GENERA IL
POTENZIALE
DI AZIONE

NOTA: V' > V_{TH} → VARIANO LE CONDUTTANZE A
Na⁺ E K⁺ ⇒ CIRCUITO (NODELLI)

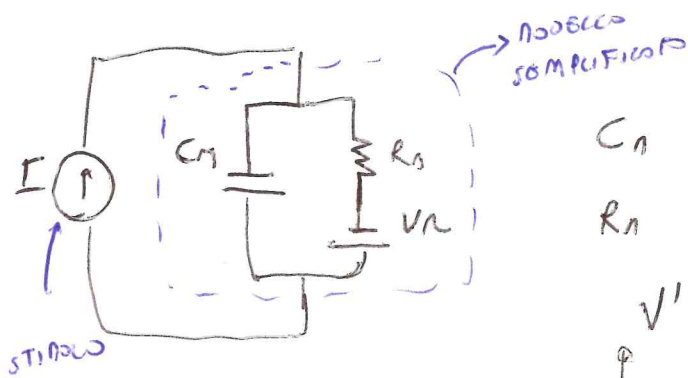
VISTO NEL SOTTO SOGLIA NON VALGONO
più (in particolare R_n ≠ cost)
VALGONO CON V'

→ MODELLO H.H

PER OBTENERE IL CONCETTO → MODELLO SEMPLIFICATO

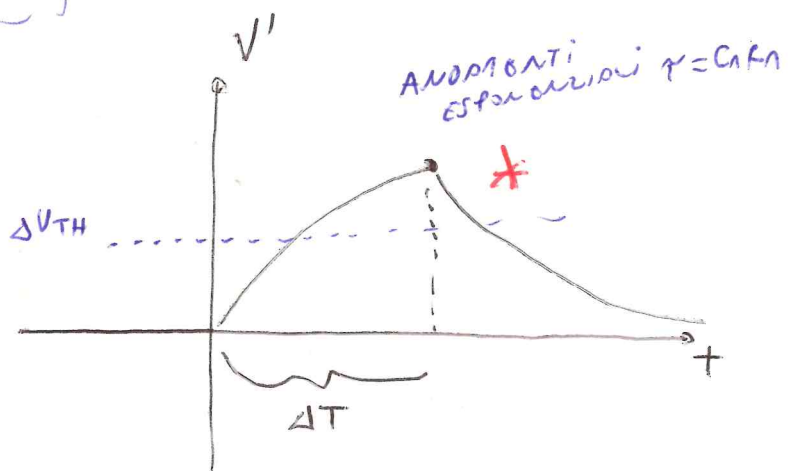
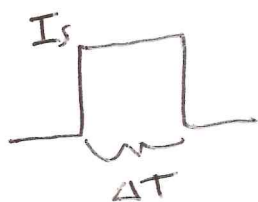
CONSIDERANDO AL SOLO TENSORE IN CORRENTE UNO STIMOLO

→ AVVISO → CELLA SENSORIALE CON UN CARICO MA NON DI PONDANTO DA X
(COME SE FOSSE IN $X=0$)
DORSO LO STIMOLO E' PASSATO



C_n
 R_n

UNITÀ DI PESO
 $R \times$ UNITÀ DI PESO



* FISSATO ΔV_{TH} V' PUÒ ROGGIARE ROGLIURESE
OPERO IN FUNZIONE DI ΔT E I_s (INTENSITÀ)

$$V' = R_n I_s \left(1 - e^{-\frac{\Delta T}{\tau_n}} \right)$$

$\rightarrow V_{FIN} (V_N = 0)$

~~$V_{FIN} = V_{TH}$~~

MODELLO SEMPLICO
MA DESCRIVE IN MODO APPROSSIMATIVO IL SUO CICLO DI SUCCESSO
(ESEMPPIO → CARICO $X=0$)

PER RECUPERARE $(I_s, \Delta T)$

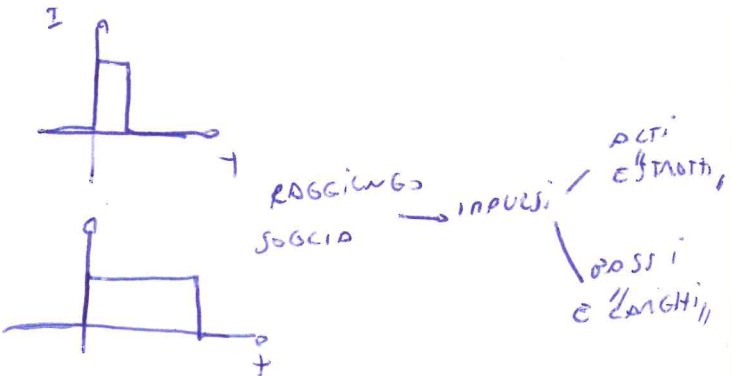
$$V' = \Delta V_{TH} \Rightarrow I_s = \frac{\Delta V_{TH}}{R_n \left(1 - e^{-\frac{\Delta T}{\tau_n}} \right)}$$

CURVA INTENSITÀ DIVERSA

N.B. → con lo stesso $I_s, \Delta T$ ROGGIURESE
SARÀ DI STIMOLAZIONE

NOTE

$$\left. \begin{array}{l} I_s \neq \\ \Delta T \downarrow \end{array} \right\}$$



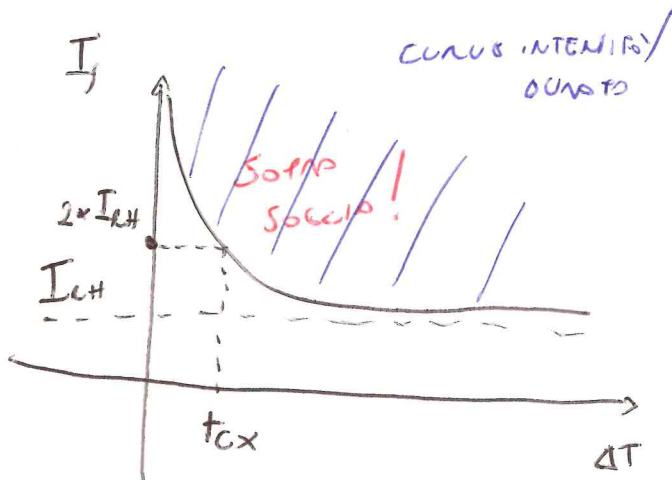
CORRENTE DI RENDIG $\rightarrow I_{RH} \rightarrow$ più piccole correnti che consentono il raggiungimento dello sogno

si ha per $\Delta T \leq \infty$

$$\Rightarrow I_{RH} = \frac{\Delta V_{TH}}{R_A}$$

$$I_s = \frac{I_{RH}}{(1 - e^{-\Delta T / \tau})}$$

Le curve intensità/durata definiscono coppie $I_s, \Delta T$ che portano la fine precisamente della sogno di attivazione



$$t_{cx} \rightarrow \text{TEMPO DI CHRONAXIE} \rightarrow \Delta T \text{ sulla curva in corrispondenza di } I_s = 2 I_{RH}$$

$$2 I_{RH} = \frac{I_{RH}}{1 - e^{-\Delta T / \tau}} \quad \frac{1}{2} = 1 - e^{-\Delta T / \tau}$$

$$e^{-\Delta T / \tau} = \frac{1}{2}$$

(INTERVALLO NECESSARIO PER CHEGGERE IL DOBBIETTO DI RISULTATO CON UN SOLO STIMONE)

$$\Rightarrow t_{cx} = \tau \ln(2)$$

$I_{RH}, t_{cx} \rightarrow$ ricoveri spontanei

definiti (tadutri) per specifici tensori eccipitali